

类钙钛矿新铌酸盐 $\text{Ba}_4\text{LaTiNb}_3\text{O}_{15}$ 的合成、结构与介电特性

胡长征¹ 张辉^{1,2} 方亮^{*,1,2} 吴伯麟¹

(¹桂林工学院有色金属材料及加工新技术教育部重点实验室,桂林 541004)

(²武汉理工大学材料复合新技术国家重点实验室,武汉 430070)

关键词: 新铌酸盐; 类钙钛矿; 介电特性; X射线衍射

中图分类号: O614.512 文献标识码: A 文章编号: 1001-4861(2006)06-1155-04

Synthesis, Crystal Structure and Dielectric Properties of a New Perovskite-like Niobate $\text{Ba}_4\text{LaTiNb}_3\text{O}_{15}$

HU Chang-Zheng¹ ZHANG Hui^{1,2} FANG Liang^{*,1,2} WU Bo-Lin¹

(Key Laboratory of Nonferrous Materials and New Processing Technology, Ministry of education,
Guilin University of Technology, Guilin, Guangxi 541004)

(State Key Lab of Advanced Technology for Materials Synthesis and Processing,
Wuhan University of Technology, Wuhan 430070)

Abstract: A new niobate compound $\text{Ba}_4\text{LaTiNb}_3\text{O}_{15}$ has been synthesized and characterized. Through Rietveld refinement of X-ray powder diffraction data, $\text{Ba}_4\text{LaTiNb}_3\text{O}_{15}$ is identified as the $\text{A}_5\text{B}_4\text{O}_{15}$ type cation-deficient perovskites with space group of $P\bar{3}m1(164)$ and lattice constants $a=0.572\ 38(1)$ nm, $c=1.169\ 48(1)$ nm, $V=0.331\ 81(1)$ nm³, and $Z=1$. The crystal structure can be described as consisting of identical perovskite-like blocks, four corner-sharing $(\text{Ba},\text{La})\text{O}_6$ octahedra thick, separated by layers of vacant octahedral. The $(\text{Ba},\text{La})\text{-O}$ bond lengths range from 0.267 to 0.321 nm and the $(\text{Ti},\text{Nb})\text{-O}$ bond lengths range from 0.175 to 0.213 nm. The $\text{Ba}_4\text{LaTiNb}_3\text{O}_{15}$ ceramic has a high dielectric constant of 53.3, high quality factors (Q) 3 650 (at 6.402 5 GHz), and low temperature variation of resonant frequency (τ_0) $+69.3 \times 10^{-6}\ \text{K}^{-1}$.

Key words: new niobate; perovskite-like structure; X-ray diffraction; dielectric properties

随着现代通信技术的迅猛发展,为满足通信系统与器件的小型化、集成化与高可靠性的迫切要求,探索具有高介电常数、低介电损耗与低温度系数的微波介电材料引起了材料科学、化学、物理和电子等领域科学工作者的广泛关注,并已开发出复合钙钛矿结构 $\text{Ba}(\text{Mg}_{1/3}\text{Ta}_{2/3})\text{O}_3$ 、 $\text{Ba}(\text{Zn}_{1/3}\text{Ta}_{2/3})\text{O}_3$ 和钨青铜结构 $\text{Ba}_{6-3x}\text{Ln}_{8+2x}\text{Ti}_{18}\text{O}_{54}$ 及 $\text{Ba}_2\text{Ti}_9\text{O}_{20}$ 等实用化的高性能材料^[1-5]。

考虑到以上材料均由氧八面体共顶连接而且氧八面体内(B位)、外(A位)阳离子比例等于或略大于1,我们推测在B位与A位阳离子比例略小于1的类钙钛矿结构中也极有可能存在具有优良介电性能的新材料,因此对通式为 $\text{A}_n\text{B}_{n-1}\text{O}_{3n}$ ($n=5,6,7,8$)系列B位阳离子缺位型类钙钛矿新化合物进行了系统的合成、结构与微波介电性能研究^[6-10]。本文报道了在 $\text{BaO}\text{-}\text{La}_2\text{O}_3\text{-}\text{TiO}_2\text{-}\text{Nb}_2\text{O}_5$ 体系中合成了5层类钙钛矿

收稿日期:2006-03-13。收修改稿日期:2006-04-30。

国家自然科学基金(No.50572078、No.20571059)、教育部留学回国基金资助项目。

*通讯联系人。E-mail:fangliangsksl@yahoo.com.cn

第一作者:胡长征,男,27岁,讲师,硕士;研究方向:无机功能材料。

结构新铌酸盐 $\text{Ba}_4\text{LaTiNb}_3\text{O}_{15}$, 对其晶体结构进行了分析, 并测试了陶瓷体的显微结构与微波介电特性, 发现该材料具有好的介电性能。

1 实验部分

1.1 铌酸盐 $\text{Ba}_4\text{LaTiNb}_3\text{O}_{15}$ 的合成

将纯度为 99.99% 的 BaCO_3 、 La_2O_3 、 TiO_2 和 Nb_2O_5 磨细、按化学计量比混合均匀后, 在 Pt 坩埚中加热至 1 320~1 350 °C, 保温 12 h 进行固相反应, 然后停止加热, 冷却至室温, 获得淡黄色的多晶体。将固相反应得到的多晶体磨细后, 在 100 MPa 下压制成圆片状, 再在 200 MPa 下冷等静压提高生坯密度, 然后置于 Pt 片上, 在 1 400 °C 烧结 4 h, 获得致密的陶瓷样品。

1.2 样品的测试

采用化学分析法及日产 JCXA-733 型电子探针微区分析仪(EPMA)分别测定了化合物的组成。用日本电子 JSM-5610LV 型扫描电镜(SEM)进行陶瓷体

断面的显微结构分析。将样品放入玛瑙研钵中磨细至 5~10 μm, 采用德国 HUBER G670 相机图象系统收集 X 射线粉末衍射数据, 条件为: 步进扫描, 步距 0.005°, 扫描范围 5°~100°; 曝光时间 12 h; Cu 靶 $K\alpha$ 辐射 ($\lambda=0.154\ 059\ 8\ \text{nm}$)。利用 WinXPOW 程序^[11]获得最小二乘法修正的晶胞参数; 采用 Fullprof-Suite 程序^[12]在各向同性热参数近似条件下进行 Rietveld 结构精修。采用 HP8722ET 矢量网络分析仪测量陶瓷的微波介电性能。谐振频率温度系数的测量是把整个夹具置入烘箱内, 根据样品在 15~85 °C 温度下谐振频率的变化计算而来。

2 结果与讨论

2.1 $\text{Ba}_4\text{LaTiNb}_3\text{O}_{15}$ 的晶体结构

将固相反应得到的化合物多晶体, 分别经化学分析及电子探针(EPMA)定量分析, 综合测试结果(见表 1), 可以确定该化合物的分子式为 $\text{Ba}_4\text{LaTiNb}_3\text{O}_{15}$ 。

表 1 化合物的成分定量分析结果

Table 1 Results of quantitative analysis of elements

Methods	wt%				Chemical formula
	Ba	La	Ti	Nb	
Chemical analysis	43.81	10.75	3.82	22.45	$\text{Ba}_4\text{La}_{0.97}\text{TiNb}_{3.03}\text{O}_{15.03}$
EPMA	43.72	10.83	3.81	22.48	$\text{Ba}_4\text{La}_{0.98}\text{Ti}_{0.99}\text{Nb}_{3.04}\text{O}_{15.05}$

其 XRD 数据经过寻峰后进行指标化得到晶胞参数, 属于三方晶系, $a=0.572\ 38(1)\ \text{nm}$, $c=1.169\ 48(1)\ \text{nm}$, $V=0.331\ 81(1)\ \text{nm}^3$, $\rho=6.28\ \text{g}\cdot\text{cm}^{-3}$, 通过比较其与 $\text{A}_5\text{B}_4\text{O}_{15}$ 型化合物 $\text{Ba}_5\text{Ta}_4\text{O}_{15}$ 晶胞参数^[13], 结合原料配比和结晶化学原理分析, 可以推断为同构化合物, 因此利用 $\text{Ba}_5\text{Ta}_4\text{O}_{15}$ 晶体结构数据^[13]作为初始值, 采用 Fullprof-Suite 程序进行 Rietveld 结构精修, 最后得到 $R_p=3.35\%$, $R_{wp}=4.98\%$, $\text{Chi}^2=4.71\%$, 表明精修的结果是比较满意的。精修的各原子位置坐标与温度因子见表 2, 主要键长见表 3, 其中 Ba/La-O 键长介于 0.267~0.321 nm 之间, (Ti, Nb)-O 键长在 0.175~0.213 nm 之间。 $\text{Ba}_4\text{LaTiNb}_3\text{O}_{15}$ 粉末的 X 射线衍射慢扫图谱(实线)及 Rietveld 拟合的计算图谱(虚线)及其差值见图 1。

$\text{Ba}_4\text{LaTiNb}_3\text{O}_{15}$ 的空间群为 $P\bar{3}m1(164)$, 其晶体结构(见图 2)可以描述为可以描述为 4 个 $[(\text{Nb}, \text{Ti})\text{O}_6]$ 八面体沿 [111] 方向共用角顶联结形成在 c 轴方向上平行于 (001) 晶面的类钙钛矿层。类钙钛矿层内阳离

子的配位数和配位方式与钙钛矿型结构类似, $[(\text{Nb}, \text{Ti})\text{O}_6]$ 八面体中的 Nb 和 Ti 呈无序分布, 配位数为 6; Ba 或 La 原子位于由 8 个八面体通过共用角顶相联所围成的空隙中, 它与共角顶的 12 个氧原子相连, 因此其配位数为 12; 层间的 Ba 或 La 原子与周

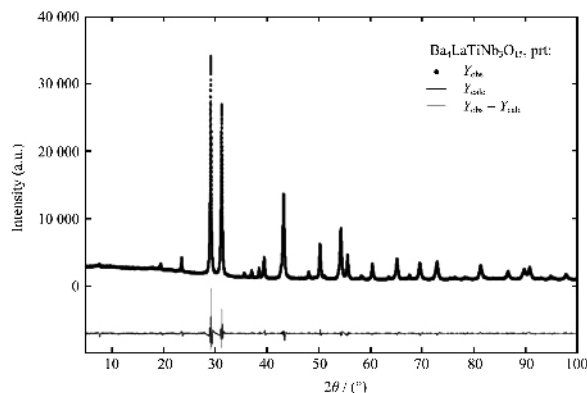


图 1 $\text{Ba}_4\text{LaTiNb}_3\text{O}_{15}$ 粉末 XRD 图、拟合图及其差值

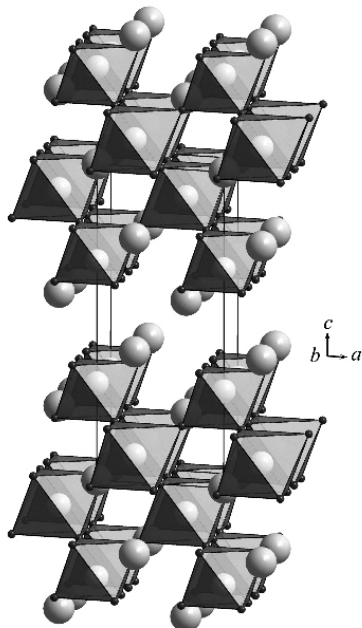
Fig.1 Observed, calculated and difference XRD patterns for $\text{Ba}_4\text{LaTiNb}_3\text{O}_{15}$

表 2 $\text{Ba}_4\text{LaTiNb}_3\text{O}_{15}$ 的原子位置及温度因子Table 2 Atomic positional and temperature factors of $\text{Ba}_4\text{LaTiNb}_3\text{O}_{15}$

Atom	Site	x/a	y/b	z/c	Occu.	B_{iso}/nm^2
O1	3e	1/2	0	0	1	0.002 2(8)
O2	6i	0.148 7(9)	0.851 3(9)	0.200 5(7)	1	0.002 2(8)
O3	6i	0.159 3(6)	0.840 7(6)	0.619 0(7)	1	0.002 2(8)
Ba1/La1	1a	0	0	0	0.8/0.2	0.000 3(1)
Ba2/La2	2d	1/3	2/3	0.793 4(2)	0.8/0.2	0.000 3(1)
Ba3/La3	2d	1/3	2/3	0.426 3(2)	0.8/0.2	0.000 3(1)
Nb1/Ti1	2d	1/3	2/3	0.107 6(4)	0.75/0.25	0.000 3(3)
Nb2/Ti2	2c	0	0	0.317 2(3)	0.75/0.25	0.000 3(3)

表 3 $\text{Ba}_4\text{LaTiNb}_3\text{O}_{15}$ 的主要键长Table 3 Selected interatomic distances for $\text{Ba}_4\text{LaTiNb}_3\text{O}_{15}$ (nm)

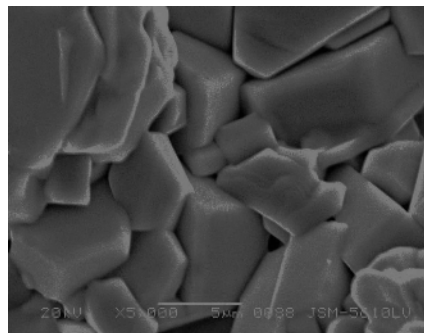
Ba1/La1-O1	6×0.286 2
Ba1/La1-O2	6×0.277 0(7)
Ba2/La2-O1	3×0.292 7(2)
Ba2/La2-O2	6×0.286 8(5)
Ba2/La2-O3	3×0.267 1(7)
Ba3/La3-O2	3×0.321 3(7)
Ba3/La3-O3	3×0.283 7(7)
Ba3/La3-O4	6×0.291 1(4)
Nb1/Ti1-O1	3×0.207 7(3)
Nb1/Ti1-O2	3×0.212 9(6)
Nb2/Ti2-O2	3×0.200 9(7)
Nb2/Ti2-O3	3×0.174 7(5)

图 2 $\text{Ba}_4\text{LaTiNb}_3\text{O}_{15}$ 的晶体结构Fig.2 Crystal structure of $\text{Ba}_4\text{LaTiNb}_3\text{O}_{15}$

围 6 个“孤立”的 $[(\text{Nb}, \text{Ti})\text{O}_6]$ 八面体相连, 其配位数为 12。2 个相邻的类钙钛矿层层面上的一对 $[(\text{Nb}, \text{Ti})\text{O}_6]$ 八面体的各自 3 个氧原子共同构成“空的氧八面体” $[\square\text{O}_6]$, 整个结构可以看成是“空的氧八面体”与上、下 2 个类钙钛矿层共面连结构成的三维结构。

2.2 $\text{Ba}_4\text{LaTiNb}_3\text{O}_{15}$ 的显微结构与微波介电性能

陶瓷体断面的 SEM 照片(图 3)进一步证实 $\text{Ba}_4\text{LaTiNb}_3\text{O}_{15}$ 由单一的物相组成, 显微结构致密, 晶粒大小约为 $2\sim10\text{ }\mu\text{m}$, 可见规则的六方短柱状晶粒。陶瓷体测量密度为 $5.979\text{ g}\cdot\text{cm}^{-3}$, 致密度为 95.2%。

图 3 $\text{Ba}_4\text{LaTiNb}_3\text{O}_{15}$ 陶瓷扫描电镜断面形貌Fig.3 SEM micrograph of the fracture surfaces of $\text{Ba}_4\text{LaTiNb}_3\text{O}_{15}$ ceramic

在微波频率下采用开腔法测得 $\text{Ba}_4\text{LaTiNb}_3\text{O}_{15}$ 陶瓷在 TE_{011} 模式下的介电常数 ϵ_r 为 53.3, 谐振频率为 6.4025 GHz 时, 品质因子 Q 值为 3 650。样品在 15~85 °C 温度下谐振频率随温度的变化曲线见图 4, 通过计算可获得谐振频率温度系数 τ_f 为 $+69.3 \times 10^{-6}\text{ K}^{-1}$ 。通过 Clausius-Mosotti 公式 ($\epsilon_r = (3V + 8\pi a_m)/(3V - 4\pi a_m)$), 式中 V 为单位晶胞体积, a_m 为该化合物的总离子极化率, 其中 Ba^{2+} , Ti^{4+} , Nb^{5+} 与 O^{2-} 离子极化率采用 Shannon^[14] 数据, La^{3+} 极化率采用 Davies 等修正后的 4.82^[15] 数据, 计算 $\text{Ba}_4\text{LaTiNb}_3\text{O}_{15}$ 的理论介电常数 ϵ_{calc}

为 60.47。经过气孔率修正后的实测介电常数 $\varepsilon_{\text{corr}}$ (57.33) 基本一致, 其中气孔率修正采用的是 Rushman-Strivens^[16]公式 ($\varepsilon_{\text{corr}} = \varepsilon_{\text{obs}}(2 + V_2)/2(1 - V_2)$, 式中 V_2 为气孔率, ε_{obs} 为实际测量值)。

$\text{Ba}_4\text{LaTiNb}_3\text{O}_{15}$ 陶瓷具有较高的 Q.f 值, 而且室温介电常数明显高于 $\text{Ba}_5\text{Nb}_4\text{O}_{15}$ ($\varepsilon_{\text{obs}} = 39.1$)、 $\text{BaLa}_4\text{Ti}_4\text{O}_{15}$ ($\varepsilon_{\text{obs}} = 43$) 等 $\text{BaO-La}_2\text{O}_3-\text{TiO}_2-\text{Nb}_2\text{O}_5$ 四元体系中已报道 $\text{A}_5\text{B}_4\text{O}_{15}$ 型化合物^[15], 这十分有利于微波移动通信元器件的小型化; 其温度系数 τ_f 也低于 $\text{Ba}_5\text{Nb}_4\text{O}_{15}$ 的相应值 ($+78 \times 10^{-6} \text{ K}^{-1}$)。通过与温度系数为负值的 $\text{BaLa}_4\text{Ti}_4\text{O}_{15}$ ($\tau_f = -17 \times 10^{-6} \text{ K}^{-1}$)^[15] 进行复合可以获得接近于零的 τ_f 值, 有望成为一类实用化的新型微波介电陶瓷材料。

3 结 论

采用高温固相反应合成了 $\text{A}_5\text{B}_4\text{O}_{15}$ 型五层类钙钛矿结构新铌酸盐 $\text{Ba}_4\text{LaTiNb}_3\text{O}_{15}$ 。 $\text{Ba}_4\text{LaTiNb}_3\text{O}_{15}$ 晶体为三方晶系, 空间群 $P\bar{3}m1(164)$, 晶胞参数 $a = 0.572\ 38(1)\ \text{nm}$, $c = 1.169\ 48(1)\ \text{nm}$, $V = 0.331\ 81(1)\ \text{nm}^3$, $Z = 1$ 。 $\text{Ba}_4\text{LaTiNb}_3\text{O}_{15}$ 陶瓷在微波频段具有较高的室温介电常数 53.3, 具有较高的 Q.f 值 23,369, 与小的谐振频率温度系数 $+69.3 \times 10^{-6} \text{ K}^{-1}$, 因此 $\text{Ba}_4\text{LaTiNb}_3\text{O}_{15}$ 极有可能成为一种新型的微波介质陶瓷材料。

参考文献:

- [1] GAN Fu-Xi(干福熹). *Information Materials*(信息材料). Tianjin: Tianjin University Press, 2000.219~222
- [2] Ubic R, Reaney I M, Lee W E. *International Materials Reviews*, 1998, 43:205~219
- [3] Kolar D, Stadler Z, Gaberscek S, et al. *Ber Dt Keram Ges*, 1978, 55:346~351
- [4] Ohstao H, Ohashi T, Nishigaki S, et al. *Jpn. J. Appl. Phys.*, 1993, 32(B):4323~4425
- [5] Venkatesh J, Sivasubramanian V, Subramanian V, et al. *Mater. Res. Bull.*, 2000, 35:1325~1329
- [6] ZHANG Hui(张 辉), FANG Liang(方 亮), HONH Xue-Kun(洪学昆), et al. *Wuji Huaxue Xuebao(Chinese J. Inorg. Chem.)*, 2003, 19:1150~1152
- [7] ZHANG Hui(张 辉), HUANG Tao-Hua(黄涛华), FANG Liang(方 亮), et al. *Wuji Huaxue Xuebao(Chinese J. Inorg. Chem.)*, 2004, 20(4):426~428
- [8] Zhang H, Fang L, Dronskowski R, et al. *J. Solid State Chem.*, 2004, 177:4007~4011
- [9] Zhang H, Fang L, Elsebrock R, et al. *Materials Chemistry and Physics*, 2005, 93(2~3):450~454
- [10] Fang L, Chen L, Zhang H, et al. *Journal of Materials Science: Materials in Electronics*, 2005, 16(3):149~151
- [11] Stoe WinXpow Version 1.06, Stoe & Cie., 1999.
- [12] Roisnel T, Rodriguez-Carvajal J. *FullProf Suite V2.50*, LLB JRC, 2003.
- [13] Shannon J, Katz L. *Acta Crystallogr.*, 1970, B26:102~107
- [14] Shannon R D. *J. Appl. Phys.*, 1993, 73(1):348~366
- [15] Rushman D F, Strivens M A. *Proc. Phys. Soc.*, 1947, 59:1011~1015
- [16] Vineis C, Davies P K. *Mater. Res. Bull.*, 1996, 31(5):431~435